

الاتحاد الدولي للاتصالات

**ITU-R**

قطاع الاتصالات الراديوية في الاتحاد الدولي للاتصالات

**ITU-R P.531-10**  
(2009/10)

**معطيات الانتشار الأيونوسفيري وطرائق  
التنبؤ المطلوبة من أجل تصميم الخدمات  
والأنظمة الساتلية**

**P** السلسلة

انتشار الموجات الراديوية



الاتحاد الدولي للاتصالات

## تمهيد

يصطلط قطاع الاتصالات الراديوية بدور يتمثل في تأمين الترشيد والإنصاف والفعالية والاقتصاد في استعمال طيف الترددات الراديوية في جميع خدمات الاتصالات الراديوية، بما فيها الخدمات الساتلية، وإجراء دراسات دون تحديد مدى الترددات، تكون أساساً لإعداد التوصيات واعتمادها. ويؤدي قطاع الاتصالات الراديوية وظائفه التنظيمية والسياسية من خلال المؤتمرات العالمية والإقليمية للاتصالات الراديوية وجمعيات الاتصالات الراديوية بمساعدة لجان الدراسات.

### **سياسة قطاع الاتصالات الراديوية بشأن حقوق الملكية الفكرية (IPR)**

يرد وصف للسياسة التي يتبعها قطاع الاتصالات الراديوية فيما يتعلق بحقوق الملكية الفكرية في سياسة البراءات المشتركة بين قطاع تقنيين الاتصالات وقطاع الاتصالات الراديوية والمنظمة الدولية للتوحيد القياسي واللجنة الكهربائية الدولية (ITU-T/ITU-R/ISO/IEC) والمشار إليها في الملحق 1 بالقرار 1 ITU-R. وتعد الاستثمارات التي ينبغي لحاملي البراءات استعمالها لتقاسم بيان عن البراءات أو للتصریح عن منح رخص في الموقع الإلكتروني <http://www.itu.int/ITU-R/go/patents/en> حيث يمكن أيضاً الإطلاع على المبادئ التوجيهية الخاصة بتطبيق سياسة البراءات المشتركة وعلى قاعدة بيانات قطاع الاتصالات الراديوية التي تتضمن معلومات عن البراءات.

### **سلسلة توصيات قطاع الاتصالات الراديوية**

(يمكن الإطلاع عليها أيضاً في الموقع الإلكتروني <http://www.itu.int/publ/R-REC/en>)

العنوان	السلسلة
البث الساتلي	BO
التسجيل من أجل الإنتاج والأرشفة والعرض؛ الأفلام التلفزيونية	BR
الخدمة الإذاعية (الصوتية)	BS
الخدمة الإذاعية (التلفزيونية)	BT
الخدمة الثابتة	F
الخدمة المتنقلة وخدمة التحديد الراديوى للموقع وخدمة الهواة والخدمات الساتلية ذات الصلة	M
<b>انتشار الموجات الراديوية</b>	
علم الفلك الراديوى	RA
الخدمة الثابتة الساتلية	S
أنظمة الاستشعار عن بعد	RS
التطبيقات الفضائية والأرصاد الجوية	SA
تقاسم الترددات والتنسيق بين أنظمة الخدمة الثابتة الساتلية والخدمة الثابتة	SF
إدارة الطيف	SM
التحجيم الساتلي للأخبار	SNG
إرسالات الترددات المعيارية وإشارات التوقيت	TF
المفردات والمواضيع ذات الصلة	V

**ملاحظة:** ثمت الموافقة على النسخة الإنكليزية لهذه التوصية الصادرة عن قطاع الاتصالات الراديوية بموجب الإجراء الموضح في القرار ITU-R 1

النشر الإلكتروني  
جنيف، 2010

## التوصية 10-P.531-RU

# معطيات الانتشار الأيونوسفيري وطرائق التنبؤ المطلوبة من أجل تصميم الخدمات والأنظمة الساتلية

(المسألة 218/3)

(2009-2007-2005-2003-2001-1999-1997-1994-1992-1990-1978)

## مجال التطبيق

تصف التوصية 10-P.531 ITU-R طريقة تقدير آثار الانتشار الأيونوسفيري على المسارات أرض-فضاء في الترددات الواقعة بين 0,1 و 12 GHz. وفيما يلي الآثار التي قد يتعرض لها المسير أرض-فضاء عند اختراق الإشارة للأيونوسفير:

- دوران الاستقطاب (دوران فارادي) وسيبه تفاعل الموجة الكهرومغناطيسية مع الوسيط المتأين في الحال المغناطيسي للأرض على طول المسير؛
- تأخر زمرة الإشارة وتقدم الطور الناجم عن المحتوى الإلكتروني الإجمالي (TEC) المتراكم على طول المسير؛
- التغير السريع في اتساع وطور الإشارة (الالتمام) الناتج عن البني الصغيرة غير المنتظمة في الأيونوسفير؛
- تغير في اتجاه زاوية الوصول الناجم عن الانعراج؛
- آثار دوبلر الناجمة عن دورانات الاستقطاب غير الخطية والتأخيرات الزمنية.

وتصلح المعطيات والطرائق التي يرد وصفها في هذه التوصية لتطبيقها من أجل التخطيط لأنظمة الساتلية وفق أمدية الصلاحية الواردة في الملحق 1.

إن جمعية الاتصالات الراديوية للاتحاد الدولي للاتصالات،

## إذ تضع في اعتبارها

- (أ) أن الأيونوسفير يتسبب في آثار انتشار كبيرة عند ترددات تصل إلى 12 GHz على أقل تقدير؛
- (ب) أن الآثار قد تكون مهمة جداً من أجل خدمات مدار الساتل غير المستقر بالنسبة إلى الأرض تحت 3 GHz؛
- (ج) أنه قد قدمت معطيات احتجارية و/أو أنه قد أعدت طرائق نجدية تتيح التنبؤ بمعظمات الانتشار الأيونوسفيري الضرورية للتخطيط لأنظمة الساتلية؛
- (د) أن من الممكن أن تؤثر الآثار الأيونوسفيرية على تصميم أنظمة راديوية تتضمن مركبات فضائية؛
- (هـ) أنه قد تبين أن هذه المعطيات والطرائق قابلة للتطبيق، في نطاق التغير الطبيعي لظاهرة الانتشار، عند التخطيط لأنظمة الساتلية،

## تعرصي

**1** بضرورة اعتماد المعطيات المعدة والطرائق الموضوعة كما ورد في الملحق 1 من أجل التخطيط لأنظمة الساتلية في كلٍ من أمدية الصلاحية المحددة في هذا الملحق.

## الملحق 1

### المقدمة

1

يعالج هذا الملحق آثار الانتشار الأيونوسفيري على المسيرات أرض-فضاء. ومن وجهة نظر تصميم النظام، يمكن أن يلخص تأثير الآثار الأيونوسفيرية على النحو التالي:

- (أ) إن المحتوى الإلكتروني الإجمالي (TEC) المجمع على طول مسیر إرسال الخدمة المتنقلة الساتلية (MSS) الذي يخترق الأيونوسفير يتسبب في دوران استقطاب (دوران فارادي) الموجة الحاملة للخدمة MSS وتأخر الإشارة وفي تغير الاتجاه الظاهر للوصول نتيجة للانعكاس؛
- (ب) حدوث بقع أيونوسفيرية عشوائية توصف عادة بالشذوذ الأيونوسفيري وتؤدي بدورها إلى دوران مفرط ودوران عشوائي وإلى تأخير لا يمكن وصفه إلا بشكل احتمالي؛
- (ج) نظراً إلى أن عمليات الدوران وحالات التأخير الراجعة إلى الكثافة الإلكترونية لا تتوقف على التردد غير الخطى، فإن الظواهر الموصوفة في إطار (أ) وب) تؤدي إلى التشتيت أو تشوه سرعة الزمرة للموجات الحاملة للخدمة MSS؛
- (د) إضافة إلى ذلك فإن الشذوذ الأيونوسفيري الموضعي يسلك سلوك العدسات المتقاربة والمتباعدة التي تركز وتزيل الترکيز عن الموجات الراديوية. ويشار إلى مثل هذه الآثار عموماً بأنها الاتصالات التي تؤثر على الاتساع وزاوية وصول إشارة الخدمة MSS.

ونظراً إلى الطبيعة المعقّدة لفيزياء الأيونوسفير، فيليس من الممكن دائماً أن تلخص بسرعة وبصيغة تحليلية بسيطة معلمات النظام التي تتأثر بالآثار الأيونوسفيرية كما لوحظت أعلاه. ويعود عرض المعطيات ذات الصلة على شكل جداول و/أو رسوم بيانية مع تقديم بيانات على سبيل الوصف أو التحديد أفضل طريقة لتقديم هذه الآثار بالنظر إلى جميع الأغراض العملية.

وبينجي، عند النظر في آثار الانتشار بغية تصميم الخدمة MSS على ترددات أقل من 3 GHz، الاعتراف بأن: ما يسمى عادة بآثار الانتشار فضاء-أرض الناتجة عن الظواهر الجوية المائية ليست مهمة بالنسبة إلى الآثار الواردة في (ه) و(ج)؛

(و) آثار المسيرات المتعددة على مقربة من السطح لها دائماً أهمية حاسمة عند وجود عوائق طبيعية أو اصطناعية وأو زوايا ارتفاع منخفضة؛

(ز) آثار المسيرات المتعددة على مقربة من السطح تتغير من منطقة إلى أخرى وهي لا تسسيطر وبالتالي على التصميم الإجمالي لنظام الخدمة MSS حين يتعين التعامل مع عوامل الانتشار على الصعيد العالمي؛

(ح) الآثار الأيونوسفيرية هي آثار الانتشار التي ينبغي مراعاتها عند تصميم نظام الخدمة MSS على الصعيد العالمي.

### الخلفية

2

يتألف الأيونوسفير الأرضي الذي يسببه الإشعاع الشمسي من عدة أقاليم من التأين. ومن أجل كل أهداف الاتصالات العملية، فقد حددت أقاليم الأيونوسفير D و E و F وأقاليم التأين العليا بوصفها تساهم في المحتوى الإلكتروني الإجمالي (TEC) بين المطارات الساتلية والأرضية.

وفي كل إقليم، لا يكون الوسيط المتأين متجانساً في الفضاء أو مستقرًا في الزمن. وعموماً يكون للتأين الخلفي تغيرات منتظمة إلى حد ما يومية وفصلية ودولية شمسية كل 11 عاماً ويتوقف بشكل كبير على الموقع الجغرافي والنشاط المغناطيسي الأرضي. وإضافة إلى التأين الخلفي، هناك دائماً بين صغيرة عالية الدينامية وغير مستقرة بالنسبة إلى الأرض وتعرف بأنها شاذة. ويفيد

التأين الخلفي والشذوذ كلاهما إلى انحطاط الموجات الراديوية. إضافة إلى ذلك، يتسبّب كل من التأين الخلفي والشذوذ في جعل المؤشر الانكساري أكثر اعتماداً على التردد أي أن يصبح الوسط مشتاً.

### 3 الانحطاطات الأولية الراجعة إلى التأينات الخلفية

إن عدداً من الآثار مثل الانكسار والتشتت وتأخر الزمرة يكون متناسباً من حيث الحجم مباشرة مع المحتوى الإلكتروني الإجمالي (TEC) كما يتتسّب دوران فارادي تقريباً مع المساهمات من أجزاء مختلفة من مسیر الإشعاع كما يقدر بواسطة المكون الطولي من المجال المغطسي. وهكذا تتيح معرفة المحتوى TEC إجراء تقدير كمي للعديد من الآثار الأيونوسفيرية المهمة.

#### 1.3 المحتوى الإلكتروني الإجمالي (TEC)

إن المحتوى TEC الذي يعين بواسطة  $N_T$  يمكن تحديده قيمته بالمعادلة التالية:

$$(1) \quad N_T = \int_s n_e(s) ds$$

حيث:

$s$ : مسیر الانتشار (m)

$n_e$ : تركيز الإلكترونات ( $el/m^3$ ).

وحتى حين يكون مسیر الانتشار الحدد معروفاً، يكون تحديـد قيمة  $N_T$  صعباً لأن  $n_e$  تتعرّض للتغييرات يومية وفصلية ودورية شمسية. ومن أجل أغراض النمذجة، تذكر عادة قيمة المحتوى TEC مرتبطة بمسیر سمت له تقاطع مستعرض يبلغ  $1 m^2$ . ويمكن أن يتغير المحتوى الإلكتروني الإجمالي (TEC) لهذا العمود الرأسي بين  $10^{16} \text{ el}^2 m$  و  $10^{18} \text{ el}^2 m$  بحيث تظهر الذروة خلال جزء الإضاءة الشمسية من النهار.

ومن الممكن تقدير قيمة المحتوى TEC إما باتباع عملية تستند إلى الأيونوسفير المرجعي الدولي (IRI) أو باتباع عملية أكثر مرونة تصلح أيضاً لتقييم المحتوى TEC المائل بالاستناد إلى طريقة NeQuick. ويرد فيما يلي عرض للعملتين.

#### 1.1.3 الطريقة المستندة إلى الأيونوسفير المرجعي الدولي

إن الأيونوسفير المعياري الشهري المتوسط هو النموذج IRI-95 (نموذج الأيونوسفير المرجعي الدولي لـ COSPAR-URSI). ومن الممكن خلال فترات النشاط الشمسي المنخفض أو العتدل أن تستخدم تقنيات رقمية من أجل التوصل إلى قيم لأي موقع أو زمن أو مجموعة من الارتفاعات التي قد تصل إلى 2 000 km. وفي ظل ظروف النشاط الشمسي العالي، يمكن أن تظهر بعض المشاكل فيما يتعلق بقيم المحتوى الإلكتروني المستخلصة من IRI-95. ولأسباب كثيرة يكفي تقييم المحتوى الإلكتروني عن طريق مضاعفة أقصى كثافة لـ الإلكترونات مع قيمة ثخانة طبقة معادلة 300 km.

#### 2.1.3 الطريقة المستندة إلى NeQuick

يعبر عن توزيع الكثافة الإلكترونية المتاحة عن طريق النموذج بدالة متصلة تسمى أيضاً بالاتصال في حالة جميع المشتقـات الأولى المكانية. وهي تتـألف من جـزـائـين: الجـزـءـ الأـدـنـيـ (أـدـنـىـ مـنـ الـحدـ الأـقـصـىـ لـلـطـبـقـةـ F2)، وـالـجـزـءـ الأـعـلـىـ (أـعـلـىـ مـنـ الـحدـ الأـقـصـىـ لـلـطـبـقـةـ F2). ويـحـسـبـ أـقـصـىـ اـرـتـفـاعـ لـلـطـبـقـةـ F2 بـنـاءـ عـلـىـ قـيـمـ foF2/foE M(3000)F2 والنسبة

(انظر التوصية ITU-R P.1239). ويوصف الجزء الأدنى بطبقات شبه إستانية تـمـثلـ E وـF1 وـF2. أما الجزء الأعلى من الطبقة F فهو بدوره طبقة شبه إستانية

معـلـمةـ لـلـثـخـانـةـ تـتـوقـفـ عـلـىـ الـارـتـفـاعـ. وـيـعـطـيـ نـمـوذـجـ NeQuickـ كـثـافـةـ إـلـكـتـرـوـنـياتـ وـالـمـحـتـوىـ إـلـكـتـرـوـنـيـ إـلـجـامـيـ بـطـولـ

مسـيرـاتـ عـشـوـائـيـةـ مـنـ الـأـرـضـ إـلـىـ السـاـئـلـ إـلـىـ السـاـئـلـ.

ويمكن الحصول على برنامج الحاسوب وملفات المعطيات المرتبطة به من مكتب الاتصالات الراديوية.

### 3.1.3 دقة النموذجين

تردد التقديرات الخاصة بنموذجي NeQuick وIRI في وثائق منشورة مع قاعدة معطيات الانتشار عبر الأيونوسفير على الجزء المخصص من موقع قطاع الاتصالات الراديوية على شبكة الويب للجنة الدراسات 3 للاتصالات الراديوية.

### 2.3 دوران فارادي

إن الموجة المستقطبة خطياً تتعرض عند انتشارها عبر الأيونوسفير لدوران مستوى استقطابها تدريجياً بسبب وجود المجال المغناطيسي الأرضي ولا تناحي وسيط البلازما. ويتوقف مقدار دوران فارادي  $\theta$  على تردد الموجة الراديوية وعلى قوة المجال المغناطيسي وعلى الكثافة الإلكترونية للبلازما على النحو التالي:

$$(2) \quad \theta = 2.36 \times 10^{-14} \frac{B_{av} N_T}{f^2}$$

حيث:

$\theta$ : زاوية الدوران (rad)

$B_{av}$ : الشدة المتوسطة للمجال المغناطيسي الأرضي ( $Teslas$  أو  $Wb \cdot m^{-2}$ )

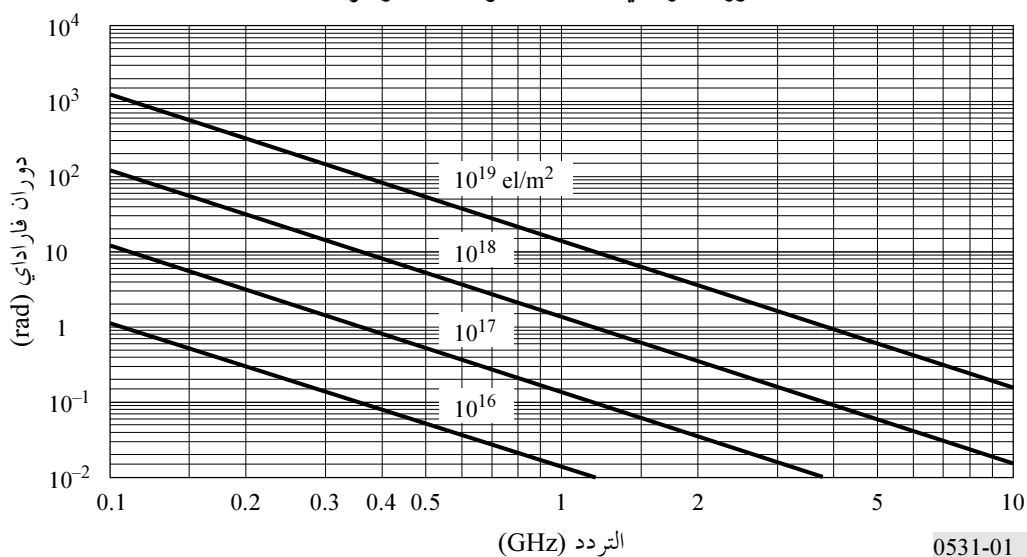
$f$ : التردد (GHz)

$N_T$ : (electrons  $\cdot m^{-2}$ ) TEC

تردد في الشكل 1 القيم النمطية لـ  $\theta$ .

الشكل 1

دوران فارادي كدالة للمحتوى TEC والتردد



وبناء على ذلك، يكون دوران فارادي متناسباً بصورة عكسية مع مربع التردد كما يكون متناسباً مباشرة مع الماصل المتكامل للκثافة الإلكترونية ومكون المجال المغناطيسي للأرض على طول مسار الانتشار. ويتراوح متوسط قيمته عند تردد معين وفقاً لنمط يومي وفصلوي ودوري شمسي منتظم من الممكن التنبؤ به. وبالتالي يمكن التعويض عن المكون العادي لدوران

فارادي بواسطة تكيف يدوى لزاوية انثناء الاستقطاب عند هوائيات المخطة الأرضية. إلا أن الممكن أن تظهر الانحرافات كبيرة عن هذا النمط المنتظم خلال نسب مئوية صغيرة من الزمن كنتيجة للعواصف المغناطيسية الأرضية، كما قد تظهر إلى مدى أقل اضطرابات أيونوسفيرية متنقلة كبيرة. ولا يمكن التبع بهذه الانحرافات بشكل مسبق. وقد أرجعت التغيرات الحادة والسرعة لروايا دوران فارادي عند إشارات الموجات المترية إلى تأثير قوي وسريع على التوالي عند موقع على مقربة من ذرى الشذوذ المداري.

ويرتبط تأثير الاستقطاب المتقطع في حالة الهوائيات المترافق (dB) XPD بزاوية دوران فارادي  $\theta$  عن طريق العلاقة:

$$(3) \quad XPD = -20 \log (\tan \theta)$$

### 3.3 تأثير الزمرة

يؤدي وجود جزيئات مشحونة في الأيونوسفير إلى بطيء انتشار الإشارات الراديوية على طول المسير ويسمى التأخير بالنسبة لزمن الانتشار في الفضاء الحر الذي يشار إليه عادة  $t$  بتأثر الزمرة. وهو عامل مهم يجب مراعاته في حالة أنظمة الخدمة MSS. وبطريقة مماثلة، يتقدم الطور بنفس المقدار. ويمكن حساب هذه الكمية كما يلي:

$$(4) \quad t = 1.345 N_T / f^2 \times 10^{-7}$$

حيث:

$t$ : التأثر الزمني (s) بالنسبة للانتشار في فراغ

$f$ : تردد الانتشار (Hz)

$N_T$ : تحدد على طول مسیر الانتشار المائل.

ويتضمن الشكل 2 رسماً بيانيًّا يمثل تأثر الزمرة  $t$ ، في مقابل التردد  $f$  بالنسبة لعدة قيم للمحتوى الإلكتروني على طول مسیر الشعاع. في حالة نطاق للترددات يقترب من 1 MHz يترواح تأثر زمرة الإشارات بين حوالي 0,5 ns إذا تراوح المحتوى الإلكتروني الإجمالي بين  $10^{16}$  و  $10^{19} \text{ el/m}^2$ . وبين الشكل 3 النسبة المئوية السنوية من ساعات النهار التي يتجاوز خالماها التأثر الزمني 20 ns في فترة من النشاط الشمسي المرتفع نسبياً.

### 4.3 التشتت

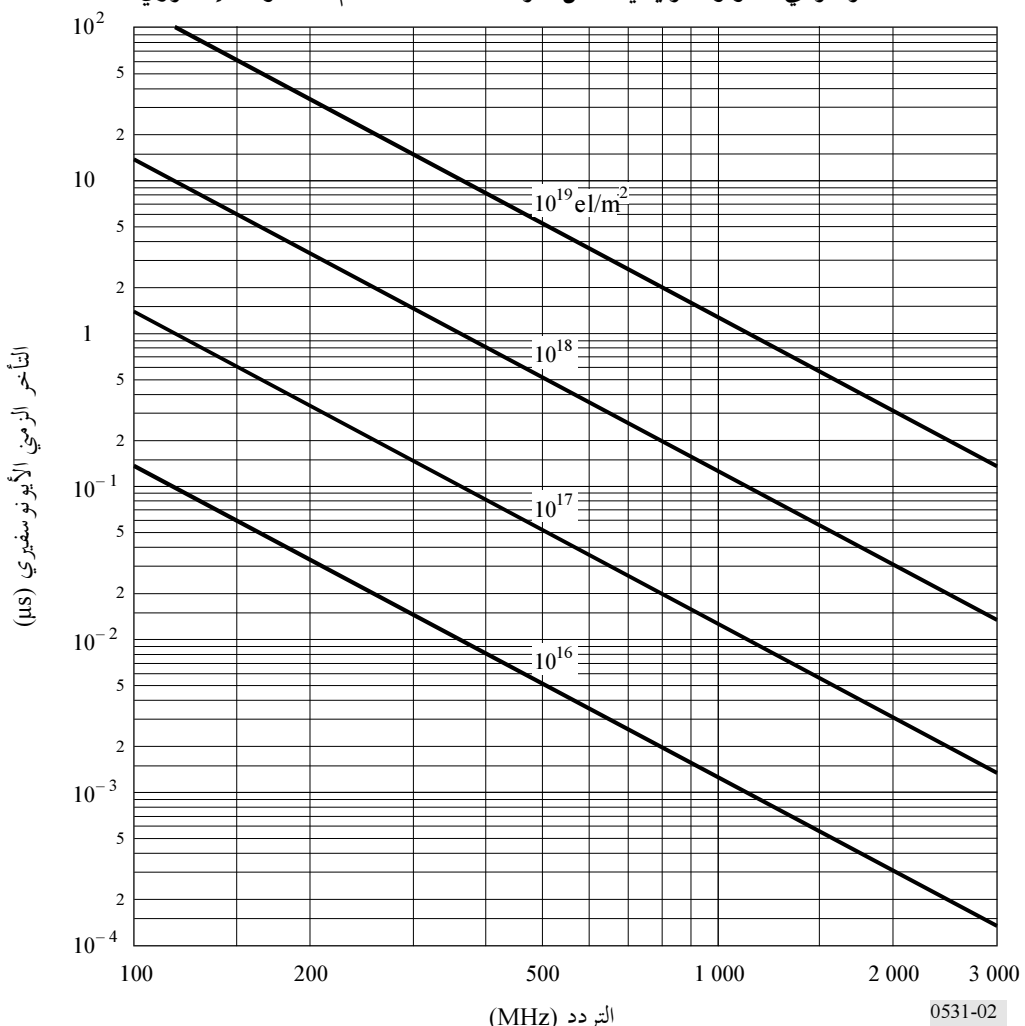
حين تشغل الإشارات العابرة للأيونوسفير نطاقاً عريضاً للترددات، فإن تأثر الانتشار (الذي يتوقف على التردد) يؤدي إلى التشتت. وتكون المهلة التفاضلية عبر عرض النطاق متناسبة مع الكثافة الإلكترونية على طول مسیر الإشعاع. وفي حالة عرض نطاق ثابت، يكون التشتت النسبي متناسباً على نحو عكسي مع تكعيب التردد. ويتغير وبالتالي مراعاة هذا الأثر في حالة الأنظمة التي تنطوي على الإرسالات عريضة النطاق التي تعمل بالموجات المترية وربما بالموجات الديكارترية. ومثال ذلك أنه كما يرد في الشكل 4 إذا بلغ المحتوى الإلكتروني المتكامل  $5 \times 10^{17} \text{ el/m}^2$ ، فإن إشارة بطول نبضي قدره 1 μs تتعرض لتأثر تفاضلي قدره 0,02 μs، عند 200 MHz في حين أن التأثر عند 600 MHz لن يتجاوز 0,00074 μs (انظر الشكل 4).

### 5.3 معدل تغير المحتوى TEC

إن معدل تغير المحتوى الإلكتروني TEC المشاهد في حالة سائل في مداره يرجع في جانب منه إلى تغير اتجاه مسیر الشعاع كما يرجع في جانب آخر إلى تغير في الأيونوسفير نفسه. وفي حالة سائل يتحرك على ارتفاع 22 km عابراً منطقة الشفق، رصد معدل أقصى للتغير بلغ  $0,7 \times 10^{16} \text{ el/m}^2/\text{s}$ . ولأغراض الملاحة، يقابل معدل التغير هذا سرعة ظاهرة تبلغ 0,11 m/s.

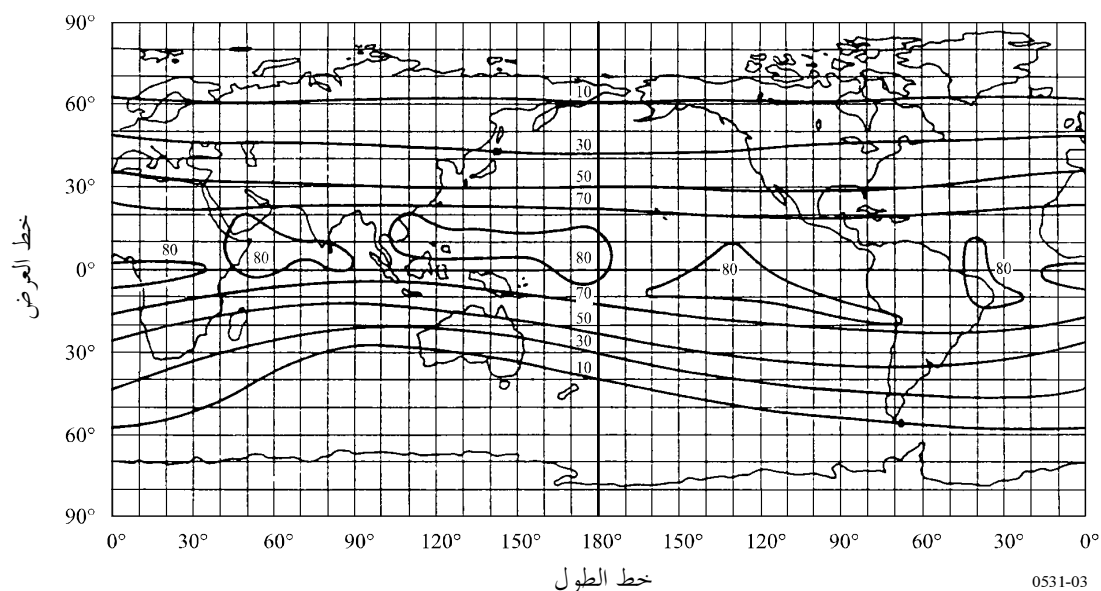
الشكل 2

التأخير الزمني الأيونوسفيري في مقابل التردد بالنسبة لعدة قيم للمحتوى الإلكتروني



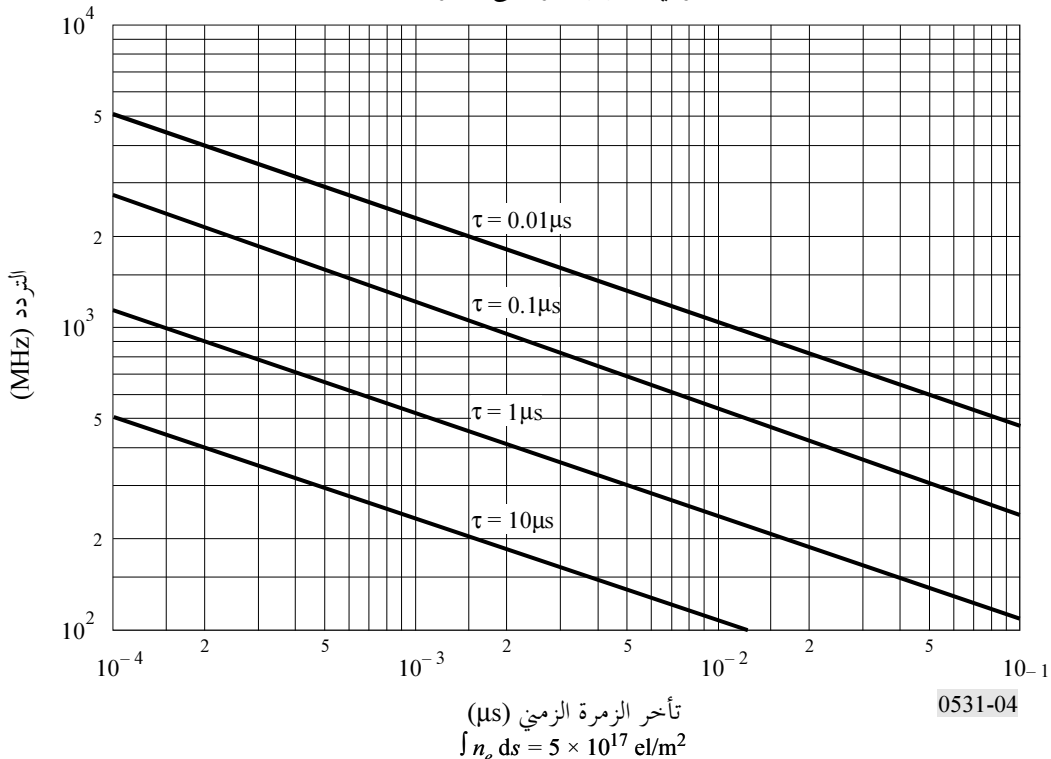
الشكل 3

أكفة النسبة المئوية للمتوسط السنوي لعدد ساعات النهار التي يتجاوز خلالها التأخير الزمني في حالة ورود رأسى عند 20 GHz 1,6 ns (عدد البقع الشمسية = 140)



الشكل 4

الفارق في التأخر الزمني بين الترددات الدنيا والعلياً لطيف نبضة يبلغ عرضها  $\tau$   
وتنتشر في الأيونوسفير على مسیر وحید الاتجاه



#### الانحطاط الرئيسي نتيجة حالات الشذوذ

4

#### الالتماع

1.4

يتسبب الالتماع الأيونوسفيري في أحد أهم الاضطرابات على طول مسیر الانتشار عبر الأيونوسفير في حالة الإشارات التي تقل عن 3 GHz. ويمكن رصد آثار الالتماع الأيونوسفيري من وقت لآخر حتى في مدى يصل إلى 10 GHz. وتنتجه الالتماعات عن تراوحتات مؤشرات الانكسار الذي يسببه عدم تجانس الوسيط. أو في المستقبل فُتَظَهُر الإشارة اتساعاً سريعاً وتراوحتات طور وتعيرات في خصائص اتساق الوقت فيها. ويحدث عن طريق آليات الانتشار والانتعاج بصفة خاصة أن تتسبب بين صغيرة غير منتظمة في كثافة التأين في ظواهر التماعية تحل فيها محل الإشارة الثابتة عند المستقبل إشارة يتغير اتساعها وطورها والاتجاه الظاهر لوصولها. وتؤثر جوانب عدة من الالتماع على أداء النظام تأثيراً مختلفاً باختلاف تشكيله. والمعلومة الأشيع استخداماً في تمييز تقلبات الشدة هي مؤشر الالتماع  $S_4$  الذي يحدد عن طريق المعادلة (5):

$$(5) \quad S_4 = \left( \frac{\langle I^2 \rangle - \langle I \rangle^2}{\langle I \rangle^2} \right)^{1/2}$$

حيث  $I$  هي شدة الإشارة (التناسبية مع جذر اتساع الإشارة) بينما تشير العلامة  $\langle \rangle$  إلى المتوسط.

ويرتبط مؤشر الالتماع  $S_4$  بتنقلات الشدة من ذروة إلى ذروة. وتتوقف العلاقة الدقيقة على توزيع الشدة. ويوصف توزيع الشدة على أفضل وجه بواسطة توزيع Nakagami في حالة مدى واسع من قيم  $S_4$ . ويمكن تصنيف قوة اللمعان الأغراض البسيط في ثلاثة أنواع: منخفضة أو معتدلة أو مرتفعة. وتعادل القيم المنخفضة  $S_4 < 0,3$ ، والمعتدلة من 0,3 إلى 0,6 والمرتفعة  $0,6 < S_4$ .

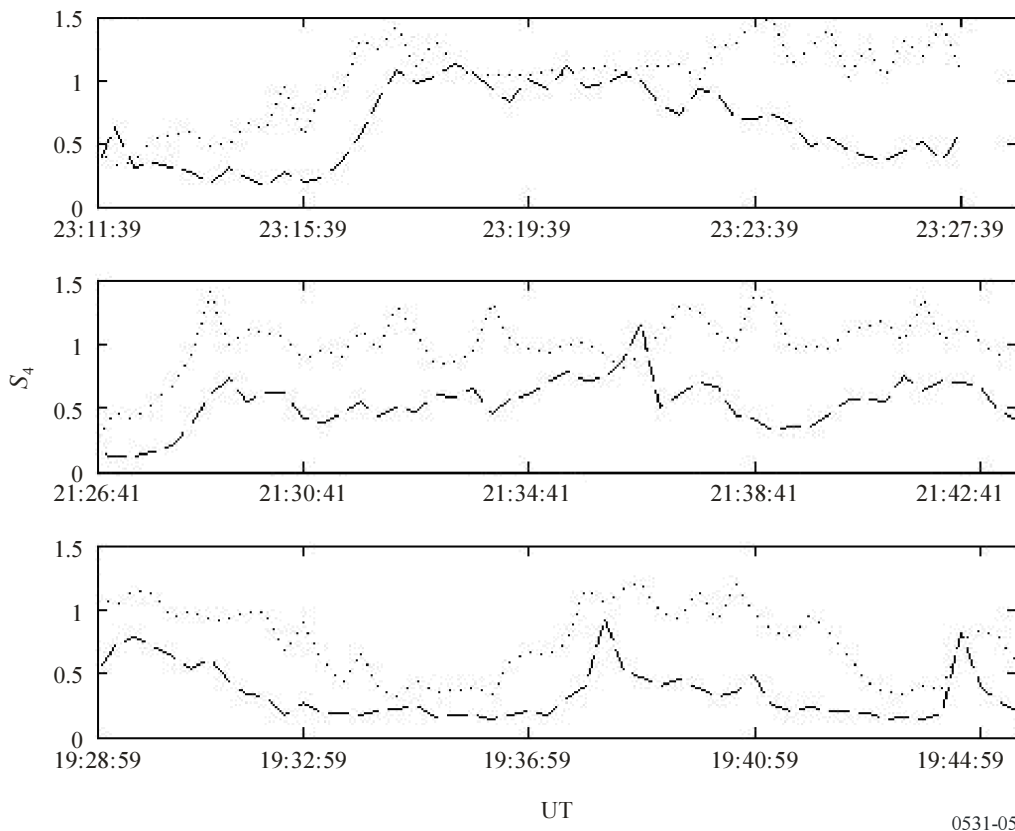
ويظهر المؤشر  $S_4$  في الحالتين المنخفضة والمعتدلة اعتماداً دائماً على التردد  $f$  علماً بأن  $f$  تساوي 1.5 في معظم عمليات الرصد متعدد الترددات. كما أن الاتساع في حالات القيم المنخفضة يتبع توزيعاً لوغارitmياً عادياً.

وفي حالة القيم المرتفعة، رصد تناقض العامل  $\tau$ . وذلك بسبب تشبع اللمعان الناجم عن التأثير القوي للانتشار المتعدد. وعندما تقترب  $S_4$  من 1,0، فإن التوزيع يقترب من توزيع رايلى (Rayleigh). وقد يحدث من وقت إلى آخر أن تزيد  $S_4$  عن 1 بحيث تصل قيمتها إلى 1,5. وبين الشكل 5 مثالاً لتبعة المؤشر  $S_4$  للتردد في الموجات VHF وUHF في ثلاث محطات للمنطقة الشفقية المنخفضة والمعتدلة والمرتفعة الالتماع.

تبعد التماعات الطور التوزيع الغولي بمتوسط صفر. ويستعمل الانحراف المعياري لوصف التماعات الطور ( $\sigma_0$ ). ومعظم عمليات الرصد في المناطق الاستوائية بالنسبة إلى القيم المنخفضة والقيم المعتدلة تشير إلى أن طور الالتماع وكثافته متراطمان ترابطاً وثيقاً وأن المؤشر  $S_4$  والقيمة  $\sigma_0$  (عند ما يعبر عنها بالراديان) لهما نفس القيمة.

## الشكل 5

مؤشرات التماع جرى قياسها في كيرونا (a) ولوبيا (b) وكوكولا (c) عند التردد MHz 150 (خط النقط) وMHz 400 (خط الشرطات) وسجلت من سواتل المدار القطبي LEO Tsykada في ظروف جوية سيئة في 30 أكتوبر 2003



ومن الناحية التجريبية، يقدم الجدول 1 طريقة عملية في التحويل بين قيم  $S_4$  والتقلبات التقريرية من ذروة-إلى-ذروة (dB). ومن الممكن التعبير عن هذه العلاقة على نحو تقريري كما يلي:

$$(6) \quad P_{fluc} = 27,5 S_4^{1,26}$$

الجدول 1

### جدول التحويل التجاري المؤشرات الالتماع

$P_{fluc}$ (dB)	$S_4$
1,5	0,1
3,5	0,2
6	0,3
8,5	0,4
11	0,5
14	0,6
17	0,7
20	0,8
24	0,9
27,5	1,0

## 2.4 اعتماد الالتماعات على الجغرافيا وال اعتدال والشمس

هناك، من الناحية الجغرافية، مناطقان للالتماع الشديد: الأولى عند خطوط العرض العالية والأخرى متمرة عند  $\pm 20^\circ$  من خط الاستواء المغنتيسي كما يتضح من الشكل 6. ولقد تم رصد التماع حاد يصل إلى ترددات بالجياغاهرترز في هذين القطاعين في حين أن الالتماع في خطوط العرض الوسطى يؤثر أساساً على إشارات الموجات المترية. وفي كل القطاعات الاستوائية، يوجد نشاط أقصى واضح في ساعات الليل كما هو مبين أيضاً في الشكلين 6 و 7. وفي حالة الالتماع المداري بالجياغاهرترز، رصد نشاط أقصى على مقربة من الاعتدال الربيعي ونشاط مرتفع عند الاعتدال الخريفي.

وتقع حادثة الالتماع النموذجية بعد الغروب الأيونوسفيري وقد تستغرق الحادثة ثالثين دقيقة أو عدة ساعات. وفي حالة المحطات الاستوائية خلال سنوات النشاط الشمسي الأقصى، يظهر الالتماع الأيونوسفيري كل مساء تقريباً بعد غروب الشمس، وعندئذ تتجاوز التقلبات من الذروة إلى الذروة في مستوى الإشارة البالغ 4 GHz، 10 dB.

## 3.4 نموذج الالتماع الأيونوسفيري

يسجن من أجل التنبؤ بشدة الالتماع الأيونوسفيري على المسيرات من الأرض إلى الفضاء استخدام نموذج الالتماع الأيونوسفيري العالمي (GISM). ويتيح هذا النموذج التنبؤ بقيمة المؤشر  $S_4$  وعمق خبو الاتساع وقيم جذر متوسط التربع لزحرة الطور والانحرافات الزاوية بسبب الالتماع حسب موقع السائل والمحطات الأرضية والتاريخ والتوقيت وتردد التشغيل. ويرتكر النموذج على طريقة الغربلة متعددة الأطوار. وقد حدّدت للمعلمات الرئيسية الداخلية للنموذج القيم الفرضية التالية:

- منحنى طيف الشدة،  $p = 3$
- متوسط حجم حالات الشذوذ  $L_0 = 500 \text{ km}$
- الانحراف النموطي للتقلبات الكثافة الإلكترونية  $\sigma_{Ne} = 0,2$

ويراعى انتفاء الأشعة، وتحسب خصائص الأيونوسفير البعيد في برنامج فرعي يستخدم النموذج الأيونوسفيري NeQuick. وتتاح شفرة المصدر الخاصة بنموذج الالتمام الأيونوسفيري العالمي مع الوثائق ذات الصلة على الجزء المخصص من موقع قطاع الاتصالات الراديوية على شبكة الويب للجنة الدراسات 3 لالاتصالات الراديوية.

#### 4.4 الإحصائيات الآنية وسلوك الطيف

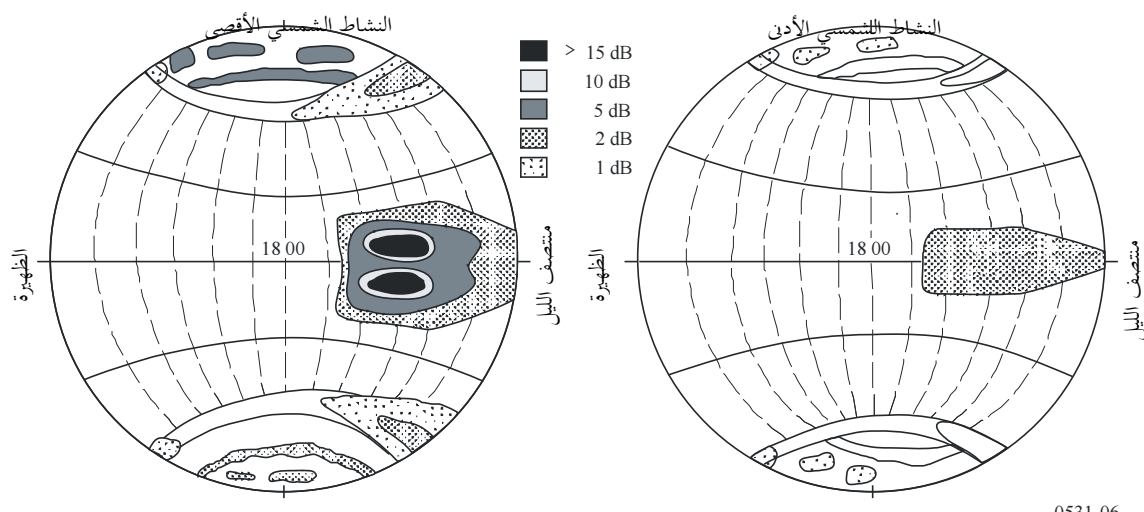
##### 1.4.4 الإحصائيات الآنية

من المعتقد أن دالة كثافة Nakagami تصف بطريقة مرضية المعلومات الإحصائية للتغير الآني للاتساع أثناء حدوث ظاهرة الالتمام الأيونوسفيري. وتعرض دالة الكثافة لشدة الإشارة كما يلي:

$$(7) \quad p(I) = \frac{m^m}{\Gamma(m)} I^{m-1} \exp(-mI)$$

الشكل 6

عمق الخيو الناتج عن الالتمام (المتناسب مع كثافة التسقيط) في النطاق 1,5 GHz خلال سنوات النشاط الشمسي الأقصى والأدنى



0531-06

الشكل 7

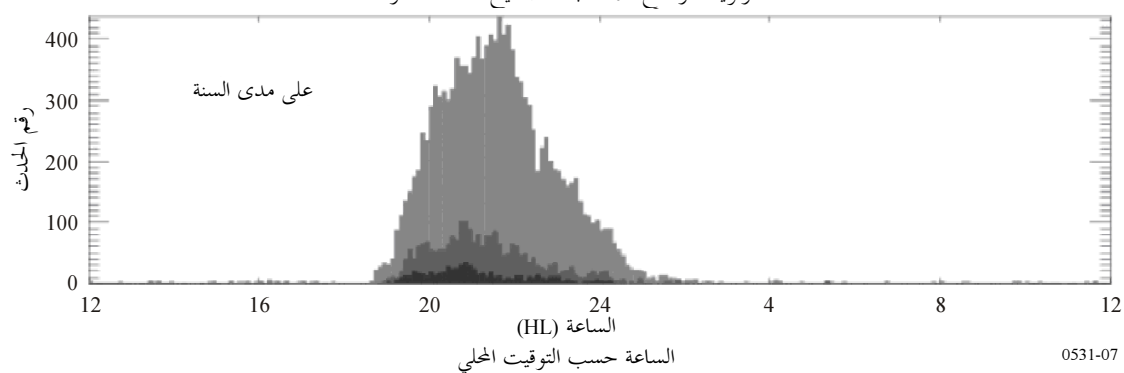
توزيع أحداث الالتمام على مدى سنة في كاين من 6 يونيو إلى 7 يوليو؛ مستوى المؤشر  $S_4$

منخفض (في الأعلى) ومتعدل (في الوسط) ومرتفع (في الأسفل) وفي زوايا ارتفاع  $<20^\circ$

كاين: بيانات من 6 يونيو 7 يوليو

مستوى  $S_4$ : (0,4-0,25), (0,4), (0,55), (0,4), (0,55), (<0,55)

زاوية الارتفاع  $<20^\circ$ ، بعد تصحيح متعدد المسارات



حيث تكون علاقة "المعامل  $m$ " مع مؤشر الالتامع  $S_4$  كما يلي:

$$(8) \quad m = 1/S_4^2$$

وعند صياغة المعادلة (7) تتم معايرة متوسط مستوى شدة  $I$  بحيث يبلغ 1,0. ويسهل إلى حد كبير حساب الكسر الزمني الذي تكون الإشارة خلاله أعلى أو أدنى من عتبة ما لأن دالة التوزيع التي تقابل كثافة Nakagami يعبر عنها بصيغة محدودة كما يلي:

$$(9) \quad P(I) = \int_0^I p(x) dx = \frac{\Gamma(m, mI)}{\Gamma(m)}$$

حيث يكون كل من  $(m, mI)$  و  $\Gamma(m)$  دالة غاما غير الكاملة و دالة غاما، على التوالي. وباستعمال المعادلة (9)، يكون بالإمكان حساب الكسر الزمني الذي تكون الإشارة خلاله أعلى أو أدنى من عتبة ما خلال حدث أيونوسفيري. ومثال ذلك أن الكسر الزمني الذي تكون الإشارة خلاله دون المتوسط بمقدار يفوق  $X$  dB يعبر عنه بواسطة  $P(10^{-X/10})$  بينما يعبر عن الكسر الزمني الذي تكون الإشارة خلاله فوق المتوسط بمقدار يفوق  $Y$  dB بواسطة  $P(10^{Y/10} - 1)$ .

#### 2.4.4 سلوك الطيف

يتراوح معدل خبو الالتامع الأيونوسفيري من حيث الخصائص الزمنية بين 0,1 و 1 Hz. وكنتيجة لذلك تتضمن أطیاف القدرة مدى واسعاً من المنحنيات من  $f^{-1}$  إلى  $f^{-6}$  كما تبين من عمليات رصد مختلفة. ويعرض الشكل 8 سلوكاً نمطاً للطيف ويوصى بالمنحنى  $f^{-3}$  كما يظهر في الشكل في تطبيقات الأنظمة عندما لا توافر نتائج القياس المباشر. وتمثل هذه القيمة أحداث التماع تتراوح بين منخفضة و معتدلة.

يختلف تردد القطع باختلاف التماع الاتساع والتماع الطور كما يبين الشكل 9. ويمثل التماع الطور مكونات تردد منخفض أكثر حدة من التماع الاتساع.

#### 5.4 الاعتبارات الهندسية

##### 1.5.4 الاعتماد على زاوية السمت

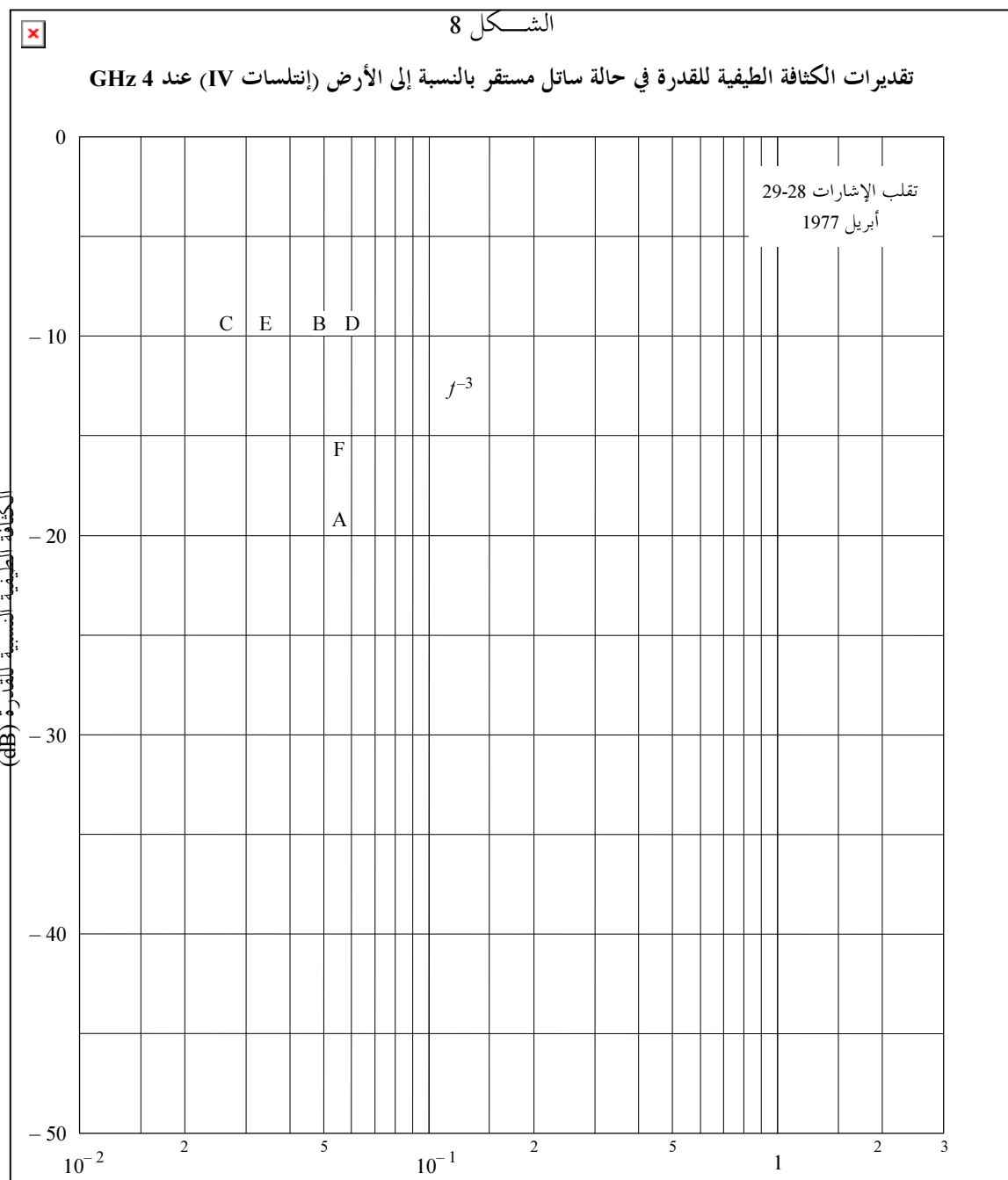
في معظم النماذج تبدو  $S_4^2$  متناسبة مع قاطع زاوية السمت  $\theta$  لمسير الانتشار. ومن المعتقد أن العلاقة صالحة طالما كانت الزاوية أقل من  $70^\circ$  تقريباً لمستوى الالتامع المنخفض والمعدل. أما إذا كانت الزاوية أكبر من ذلك، فيحسن استخدام علاقة تقرن بقدرة  $i \sec \theta$  تترواح بين  $1/2$  و  $1$ .

##### 2.5.4 الاعتماد على الفصل وخط الطول

يعتمد احتمال ظهور الالتامع ومقدار  $S_4$  على خط الطول والفصل توقفاً يمكن معلمه بواسطة الزاوية  $\beta$  المبينة في الشكل 9b وهي الزاوية الواقعة بين منهي غروب الشمس وخط الزوال المغناطيسي المحلي عند أول خط المجال الذي يمر عبر مسار ارتفاع الشذوذ. وتبين دالة التوزين في حالة الاعتماد على خط الطول والفصل كما يلي:

$$(10) \quad S_4 \propto \exp\left[-\frac{\beta}{W}\right]$$

حيث تكون  $W$  ثابت توزين يتوقف على الموقع وعلى اليوم التقويمي من السنة. ومثال ذلك أن من الممكن باستخدام المعطيات المتاحة من تانغوا وكواجالين نمذجة القيمة الرقمية لثابت التوزين كما هو مبين في الشكل 10.



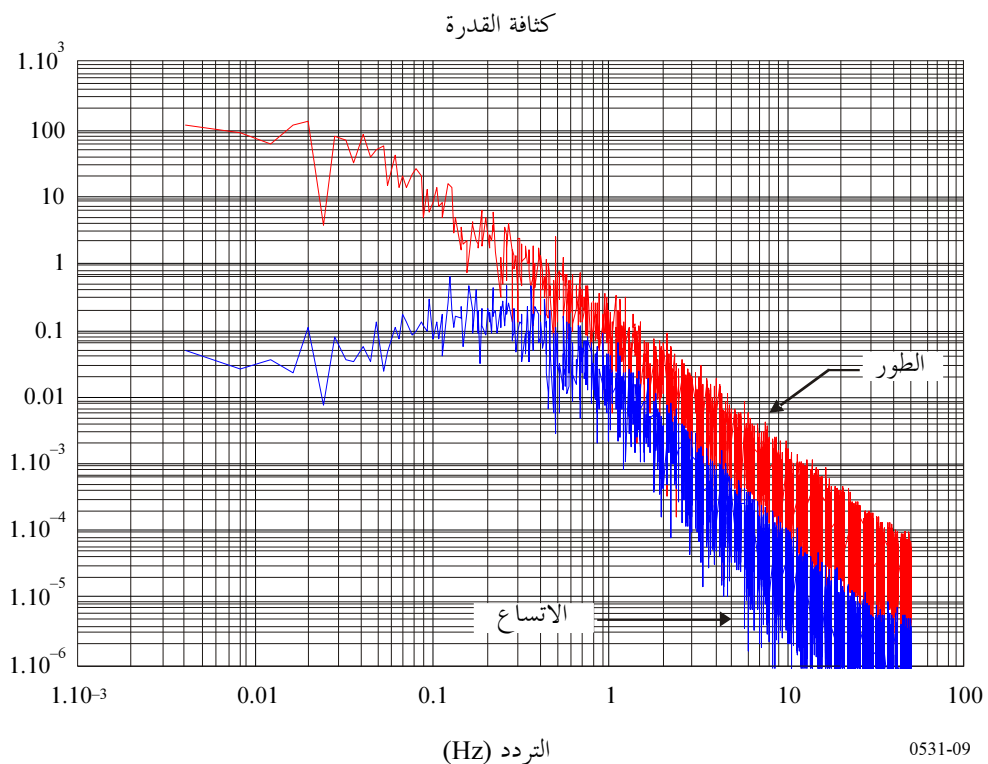
تردد التقلب (Hz)

رصدت ظاهرة الالتمام خلال مسائي 28 و 29 أبريل 1977 في محطة  
الأرض في تايبيه

0531-08

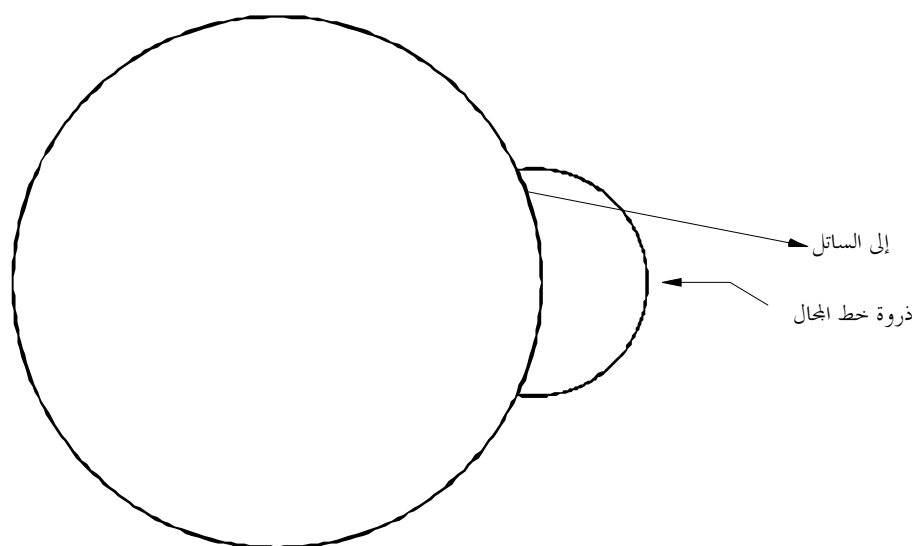
- 30 دقيقة قبل ظهور الظاهرة :A
- في البداية :B
- بعد ساعة :C
- بعد ساعتين :D
- بعد ثلاثة ساعات :E
- بعد أربع ساعات :F

الشكل 9  
الشدة العادبة وطيف الطور



الشكل 9a

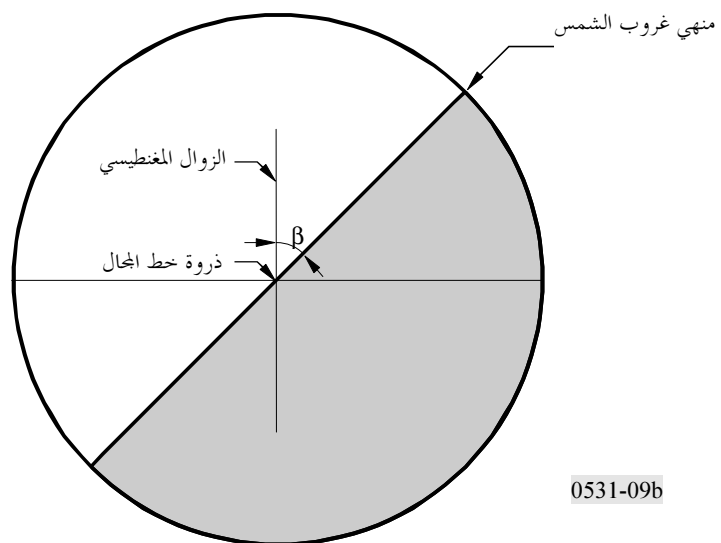
تقاطع مسار الانتشار مع خط المجال المغناطيسي عند ارتفاع الإقليم F



0531-09a

الشكل 9b

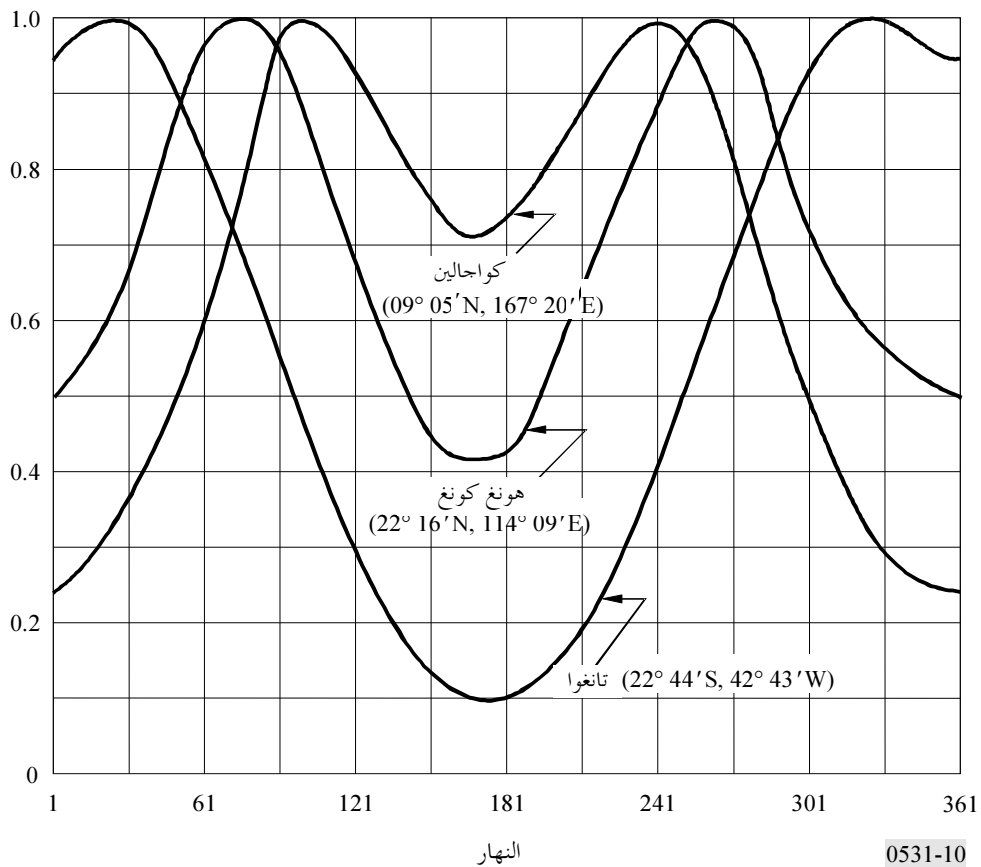
الزاوية بين خط الزوال المغناطيسي المحلي عند ذروة خط المحال  
المبين في الشكل 9a ومنهي غروب الشمس



0531-09b

الشكل 10

دوال التوزين الفصلية في حالة المخططات الموجودة في قطاعات مختلفة من خط الطول



النهار

0531-10

#### 6.4 الإحصائيات التراكمية

عند تصميم أنظمة الاتصالات الراديوية السائلية وتقدير تقاسيم الترددات، لا يهتم مهندسو الاتصالات بالخطاط النظم وتدخلها خلال حدث ما فحسب، بل يهتمون أيضاً بإحصائيات الحدوث التراكمية في الأجل الطويل. وفي حالة أنظمة الاتصالات التي تتضمن ساتلاً مستقرًا بالنسبة إلى الأرض، وهو ما يعد أبسط تشكيل لنظام راديوي، يوصى بالشكلين 11 و 12 لتقدير وتדרيج إحصائيات الحدوث. وتمثل أرقام البقع الشمسية المذكورة متوسط عدد البقع الشمسية خلال 12 شهراً.

ومن الممكن استخلاص التوزيع التراكمي طويلاً الأجل،  $P(I)$ ، لشدة الإشارة بالنسبة لمتوسط قيمتها من الإحصائيات التراكمية طويلاً الأجل،  $F(\xi)$ ، للتغلب من الذروة إلى الذروة،  $\xi_i$ ، وذلك مثل الإحصاءات المبينة في الشكل 11 كما يلي:

$$(11) \quad P(I) = \sum_{i=0}^n f_i P_i(I)$$

حيث تكون:

$$(11a) \quad f_0 = F(\xi_1 < \xi)$$

$$(11b) \quad f_i = F(\xi_i \leq \xi < \xi_{i+1}) \quad (i = 1, 2, \dots, n-1)$$

$$(11c) \quad f_n = F(\xi \geq \xi_n)$$

وهي  $\xi_i$  هما القيمتان القصوى والدنيا على التوالى للتغلب من الذروة إلى الذروة، وتكون  $n$  هي رقم الفترة  $\xi$  التي تهم المستخدم:

$$(11d) \quad P_i(I) = \Gamma(m_i, m_i I) / \Gamma(m_i)$$

$$(11e) \quad m_i = 1/S_{4i}^2$$

$$(11f) \quad S_{40} = \left[ \frac{1}{27.5} \cdot \frac{\xi_1}{2} \right]^{1/1.26}$$

$$(11g) \quad S_{4i} = \left[ \frac{1}{27.5} \cdot \frac{\xi_i + \xi_{i+1}}{2} \right]^{1/1.26} \quad (i = 1, 2, \dots, n-1)$$

$$(11h) \quad S_{4n} = \left[ \frac{1}{27.5} \cdot \frac{\xi_{n-1} + 3\xi_n}{4} \right]^{1/1.26}$$

ويبيّن الشكل 12 مثالاً للتوزيع التراكمي طويلاً الأجل لشدة الإشارة والذي يستخلص من المنحنى P6 في الشكل 11.

#### 7.4 حدوث الالتمام الأيونوسفيري وخبو المطر في آن معاً

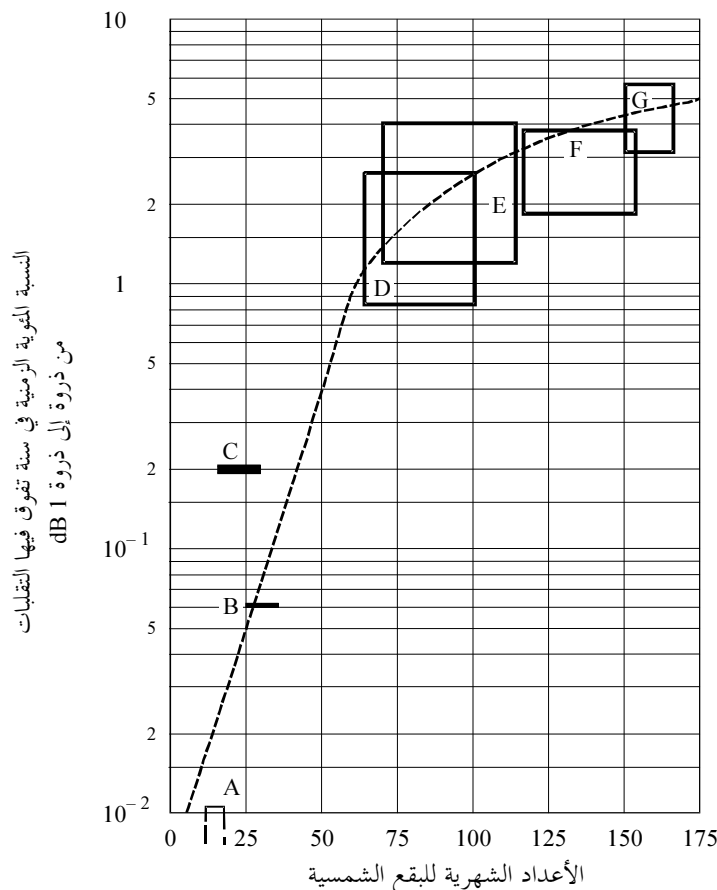
بعد الالتمام الأيونوسفيري وخبو الناتج عن المطر عامل الخطاط يرجعان إلى مصدرين ماديين مختلفين تمام الاختلاف. ولكن قد يحدث في المناطق المدارية خلال السنوات التي يكون فيها عدد البقع الشمسية عاليًا أن يكون لوقوع الظاهرتين في وقت واحد نسبة مئوية زمنية ذات أهمية بالنسبة لتصميم الأنظمة. ولقد بلغ زمن الحدوث الآني المترافق 0,06% سنويًا كما لوحظ عند 4 GHz في محطة الأرض في جوتيلوهار بإندونيسيا.

وللأحداث المتآونة توقعات كثيرة ما تكون شديدة الاختلاف عن الأحداث التي لا تنطوي إلا على عامل الخطاط واحد؛ فإذاً الالتمام أو المطر. وفي حين أن الالتمام الأيونوسفيري وحده لا يشكل ظاهرة لإزالة الاستقطاب وأن الخبو بسبب المطر لا يشكل بمفرده عامل تغلب في الإشارة (ولو أنه قد يسبب تقلبات استقطاب خفيفة للالتمامات من معتدلة إلى قوية)، فإن

الأحداث المتآونة تؤدي إلى قدر كبير من تقلبات الإشارة في قناة الاستقطاب المتقاطع. وهناك حاجة للتعرف على هذه الأحداث المتآونة في حالة التطبيقات على الأنظمة الراديوية من السائل إلى الأرض التي تتطلب درجة عالية من التيسير. ويرد وصف التبؤ بالخطوات الناجم عن المطر في التوصية ITU-R P.618.

الشكل 11

تأثير الرقم الشهري المتوسط للبقع الشمسية على  
الاتساعات الأيونوسفيرية الاستوائية عند 4 GHz



تبين المربعات أmodity التغيرات خلال سنة  
في حالة موجات حاملة مختلفة

- :A 1976-1975، هونغ كونغ والبحرين، 15 موجة حاملة
- :B 1974، لونغيفيلو، موجة حاملة واحدة
- :C 1977-1976، تايبيه، موختان حاملتان
- :D 1971-1970، < 50 محطة، 12 موجة حاملة
- :E 1978-1977، هونغ كونغ، 12 موجة حاملة
- :F 1979-1978، هونغ كونغ، 10 موجات حاملة
- :G 1980-1979، هونغ كونغ، 6 موجات حاملة

0531-11

#### 8.4 غوذج الاتساع بالوحدات GHz

يمكن أن تستخدم الخطوات التالية من أجل تقييم آثار الاتساع التي يمكن توقعها في حالة ما:

الخطوة 1: يقدم الشكل 12 إحصائيات لأحداث التماع في مسارات أيونوسفيرية مدارية: تقلبات الاتساع من ذروة إلى ذروة ( $P_{fluc}$  dB)، من أجل استقبال 4 GHz من سواحل في الشرق عند زاوية ارتفاع تبلغ حوالي  $20^\circ$  (المحنيات P بخط متصل) وفي الغرب عند زاوية ارتفاع تبلغ حوالي  $30^\circ$  (المحنيات I بخط منقطع). وتعطى المعطيات بالنسبة لأوقات مختلفة من السنة وأعداد مختلفة من البقع الشمسية.

الخطوة 2: نظراً إلى أن الشكل 12 يتعلق بتردد قدره 4 GHz، فإن من الممكن الحصول على القيم الخاصة بترددات أخرى عن طريق ضرب هذه القيم في  $(4/f)^{1.5}$  حيث تمثل  $f$  التردد المعنى (GHz).

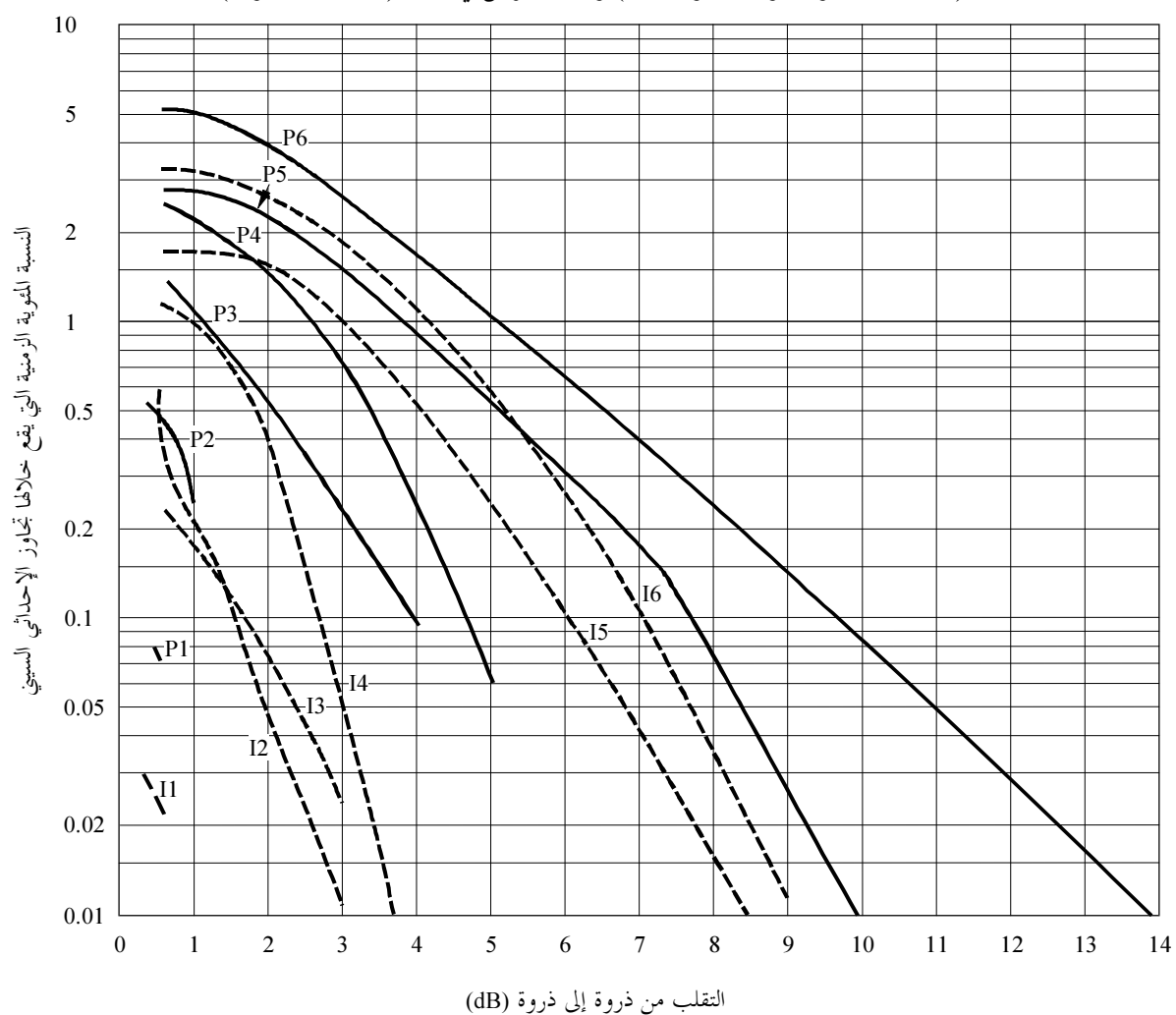
الخطوة 3: يمكن عن طريق الشكل 5 تقدير  $P_{fluc}$  بحسب الموقع الجغرافي والخدوث اليومي تقديرأً كفيياً.

الخطوة 4: لما كان المتغير  $P_{fluc}$  عنصراً واحداً في حسابات ميزانية الوصلة، فإنه يرتبط بضعف الإشارة  $L_p$  وفقاً للعلاقة  $L_p = P_{fluc} / \sqrt{2}$ .

الخطوة 5: يرد في الفقرة 1.4 تعريف مؤشر الالتمام  $S_4$ ، وهو المعلمة الأشعية استعمالاً لوصف الالتمام. ويمكن الحصول عليه من  $P_{fluc}$  باستخدام الجدول 1.

الشكل 12

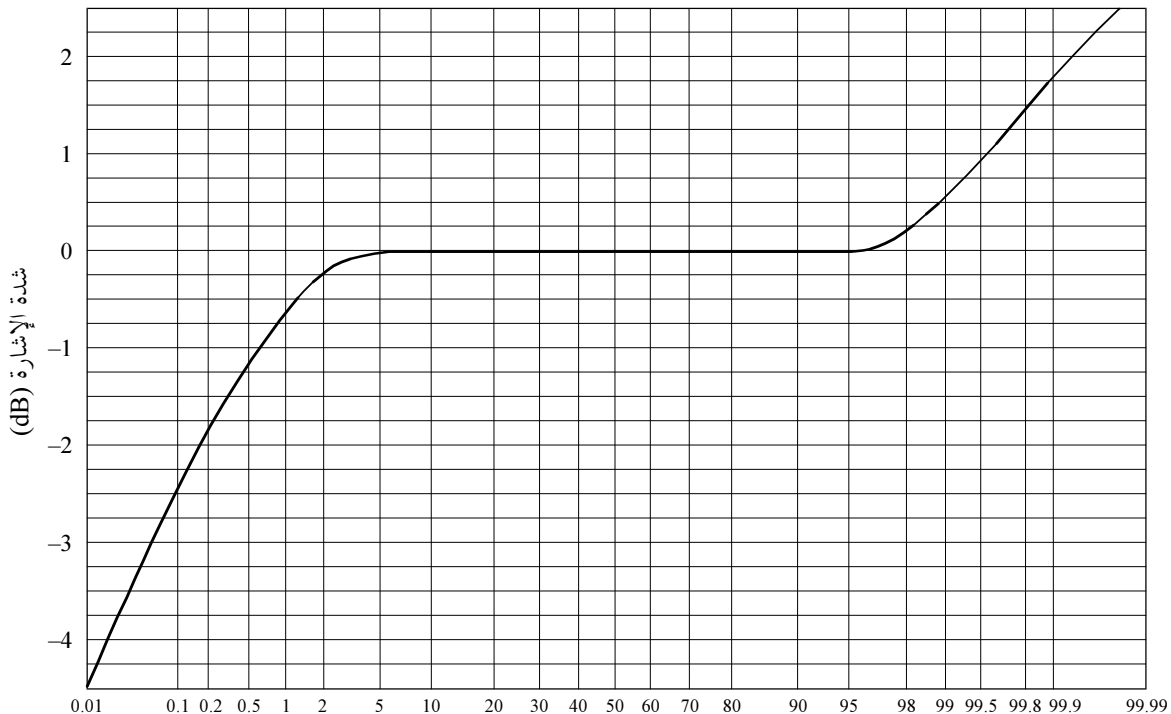
الإحصائيات السنوية للتقلبات من ذروة إلى ذروة المصوددة في محطة الأرض في هونغ كونغ  
(المنحنies I1 و P1 و I3-I6 و P3-P6)



المنحنى	الفترة	عدد البقع الشمسية
P1 و I1	مارس 76-75	15-10
P2 و I2	يونيو 77-76	26-12
P3 و I3	مارس 78-77	70-20
P4 و I4	أكتوبر 78-77	110-44
P5 و I5	نوفمبر 79-78	160-110
P6 و I6	يونيو 80-79	165-153

الشكل 13

مثال للإحصائيات التراكمية طويلة الأجل لشدة الإشارة (4 GHz)، ارتفاع 20°



النسبة المئوية الزمنية التي لا يقع خالماها تجاوز للإحداثي الصادي

0531-13

## الامتصاص

5

من الممكن عندما لا تتوفر المعلومات المباشرة تقدير الخسارة الناجمة عن الامتصاص الأيونوسفيري بناء على النماذج المتاحة في الوقت الحاضر طبقاً للعلاقة ( $i = f/\sec^n$ ) حيث تكون  $n$  هي الزاوية السمتية لمسير الانتشار في الأيونوسفير. وفي حالة المناطق المدارية والواقعة على منتصف خط الطول، فإن الموجات الراديوية التي تفوق 70 MHz تكفل اختراق الأيونوسفير دون قدر كبير من الامتصاص.

وتدل القياسات في وسط خطوط الطول أن الامتصاص عند 30 MHz في حالة عبور الأيونوسفير في اتجاه واحد في ظل ورود رأسى يتراوح عادة في الأحوال العادية بين 0,2 و 0,5 dB. ومن شأن الامتصاص أن يزيد خلال الاندفاعات الشميسية، ولكنه يقل عندئذ عن 5 dB. ومن الممكن أن يتعزز الامتصاص عند خطوط العرض المرتفعة بسبب القلاسوة القطبية أو أحداث شفقية. وتحدث هاتان الظاهرتان في فترات عشوائية وتستمر لفترات مختلفة، وتتوقف آثارها على موقع المطارات وارتفاع زاوية المسير. وبناء على ذلك، ينبغي للتوصيل إلى أنجع تصميم للنظم معالجة هاتين الظاهرتين بطريقة إحصائية على أن يراعى أن مدد الامتصاص الشفقي تصل إلى ساعات بينما تصل في حالة القلاسوة القطبية إلى أيام.

## 1.5 الامتصاص الشفقي

يتح الامتصاص الشفقي عن زيادات في التركيز الإلكتروني في الإقليمين D و E تقع نتيجة لورود إلكترونات نشطة. ويتم رصد الامتصاص على مدى يتراوح بين  $10^{\circ}$  و  $20^{\circ}$  لخط العرض المركز على مقربة من خط عرض أقصى حدوث للشفق البصري. ويحدث الامتصاص كسلسلة من تعزيزات الامتصاص المنفصلة تكون مدة كل منها قصيرة نسبياً أي من عدة دقائق إلى عدة ساعات مع مدة متوسطة تبلغ 30 دقيقة، وتتسم ببنية زمنية غير منتظمة. وتكون التعزيزات الليلية عادة من ارتفاعات سريعة سلسة والانخفاضات ضعيفة. وبين الجدول 2 مقادير نمطية عند 127 MHz.

الجدول 2

الامتصاص الشفقي عند 127 dB (MHz)

زاوية الارتفاع $^{\circ}5$	زاوية الارتفاع $^{\circ}20$	النسبة المئوية الزمنية
2,9	1,5	0,1
1,7	0,9	1
1,4	0,7	2
1,1	0,6	5
0,4	0,2	50

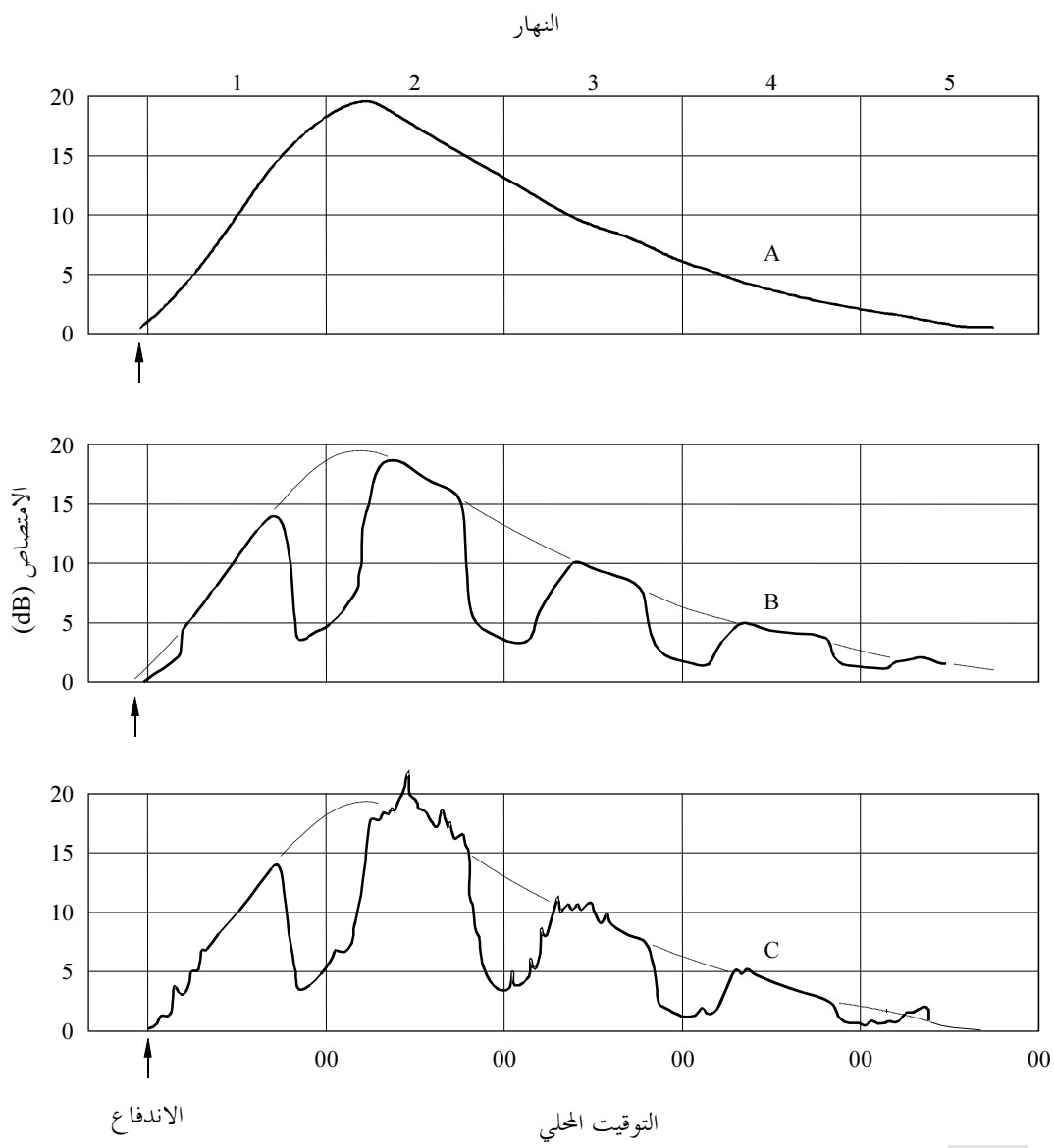
## 2.5 الامتصاص في حالة القلنسوة القطبية

إن الامتصاص في حالة القلنسوة القطبية الذي قد يحدث في فترات النشاط الشمسي المرتفع يقع عند خطوط عرض مغناطيسية أرضية أعلى من  $64^{\circ}$ . ويحدث الامتصاص نتيجة للتأين على ارتفاعات تفوق 30 km تقريباً. وهو يظهر على شكل أحداث منفصلة وإن تداخلت في بعض الأحيان وتقتربن في جميع الحالات تقريباً بأحداث شمسية منفصلة. ويدوم الامتصاص فترة طويلة ويمكن رؤيته فوق القلنسوات القطبية المضاء بالشمس. ويحدث امتصاص القلنسوة القطبية عادة خلال ذروة دورة البقع الشمسية حيث من الممكن أن يكون هناك من 10 إلى 12 حدثاً سنوياً. ومن الممكن أن يدوم مثل هذا الحدث لعدة أيام، وهو ما يتعارض مع الامتصاص الشفقي الذي غالباً ما يكون في موقع محدد مع تغيرات لا تدوم إلا دقائق.

ومن السمات المهمة لحدوث الامتصاص في حالة القلنسوة القطبية الانخفاض الكبير فيه خلال ساعات الظلام مع افتراض معدل معين لإنتاج الإلكترونات. ويمثل الشكل 14 نموذجاً افتراضياً للتغير اليومي للامتصاص عند القلنسوة القطبية عقب اندفاع شمسي كبير، وهو يستند إلى عمليات رصد بمقاييس العتمة عند خطوط عرض مختلفة.

الشكل 14

نموذج افتراضي بين الامتصاص عند القلنسوة القطبية بعد اندفاع شمسي كبير كما يمكن توقع رصده بمقاييس العاتمة عند 30 MHz تقريباً



0531-14

يتضمن الجدول 3 تقديرات للقيم القصوى للآثار الأيونوسفيرية عند تردد قدره 1 GHz. ويفترض أن المحتوى الإلكترونى الرأسى الإجمالى للأيونوسفير هو عمود قدره  $10^{18} \text{ el/m}^2$ . وتفترض كذلك زاوية ارتفاع تبلغ 30°. والقيم المبينة خاصة بانتشار الموجات في اتجاه واحد عبر الأيونوسفير.

## ملخص

6

## الجدول 3

الآثار الأيونوسفيرية القصوى المقدرة عند 1 GHz مع افتراض زوايا ارتفاع  
قدرها حوالي 30° في حالة الانتشار في اتجاه واحد

التأثير بحسب التردد	المقدار	الأثر
$1/f^2$	°108	دوران فارادي
$1/f^2$	μs 0,25	مدة الانتشار
$1/f^2$	mrad 0,17 >	الانكسار
$1/f^2$	0,2 دقيقة من القوس	التغير في اتجاه الوصول
$\sim 1/f^2$	dB 0,04	الامتصاص (الامتصاص في حالة القلنسوة القطبية)
$\sim 1/f^2$	dB 0,05	الامتصاص (الشفقي + الامتصاص في حالة القلنسوة القطبية)
$1/f^2$	dB 0,01 >	الامتصاص (في منتصف خط العرض)
$1/f^3$	ns/MHz 4-0	التشتت
انظر الفقرة 4	انظر الفقرة 4	الالتقاط